

UNIVERSIDADE FEDERAL DE SANTA CATARINA

CENTRO TECNOLÓGICO

PROGRAMA DE PÓS-GRADUAÇÃO EM ENGENHARIA MECÂNICA

Aeroacústica Computacional

Lista de exercícios 5

André Mateus Netto SPILLERE

Florianópolis, Brasil - 3 de dezembro de 2015

SUMÁRIO

1	DIRETIVIDADE NO CAMPO DISTANTE	2
2	IMPLEMENTAÇÃO DAS EQUAÇÕES FW-H	4
2.1	Implementação numérica	6
3	RESULTADOS	9
	REFERÊNCIAS	12

1 DIRETIVIDADE NO CAMPO DISTANTE

Este trabalho visa estudar a diretividade no campo distante causado pelo desprendimento de vórtices de um corpo sujeito a diferentes velocidades de escoamento. A Figura 1 mostra a geometria do anteparo de dimensões 40×40 , onde um esquema de *bounce-back* simples é utilizado para modelar as paredes (1). Os limites da malha são terminações anecoicas ABC de espessura de 30 células (2), com valores alvo de $\rho = \rho_0$, $u_x = U_0$ e $u_y = 0$. O campo acústico será investigado para as velocidades de escoamento $M = 0,03$, $0,07$ e $0,10$. A região de propagação possui 500×500 células e segue o modelo LBGK,

$$F_i(\mathbf{x} + \mathbf{c}_i, t + 1) = \left(1 - \frac{1}{\tau}\right) F_i(\mathbf{x}, t) + \frac{1}{\tau} F_i^M(\mathbf{x}, t). \quad (1.1)$$

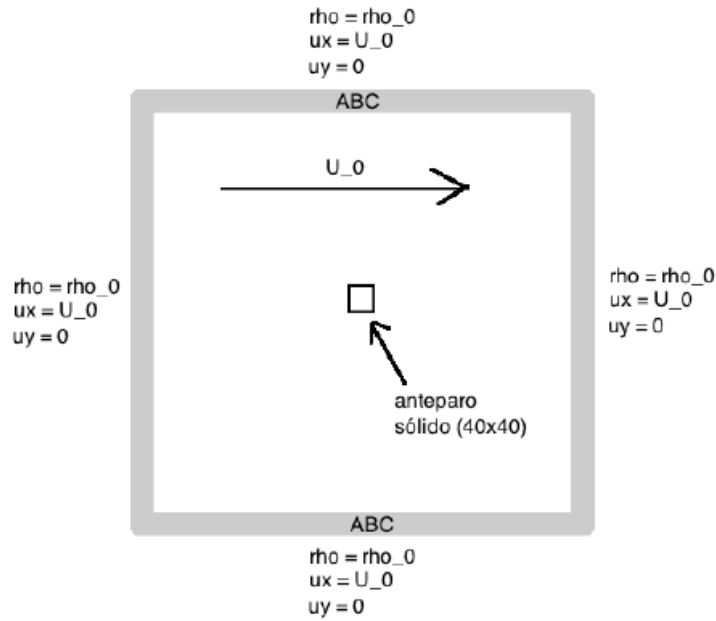


Figura 1: Geometria a ser estudada e condições de contorno.

Como o domínio da malha pode ser considerada como campo próximo, a diretividade no campo distante será calculada com base nas equações de Ffwoes Williams e Hawking (3), com implementação numérica proposta por Lockard (4). O código LBGK utilizado é o mesmo da Lista 4, com a diferença de linhas de código adicionadas para salvar o histórico de pressão, velocidade e densidade na superfície de Ffwoes Williams. O único parâmetro de entrada é o número de células entre a superfície de Ffwoes Williams e o anteparo. Vetores contendo os índices das células pertencentes a esta superfície são criados, permitindo que as velocidades, pressões e densidades nestes pontos sejam salvas. Outro código foi desenvolvido para implementar as equações e avaliar a diretividade para diferentes tamanhos de superfície.

```

Nsquare = 100; % number of cells away from the body for FW-H surface

% Measurement points
x0 = x1(1) - Nsquare;
xf = x1(2) + Nsquare;
y0 = y1(3) - Nsquare;
yf = y1(2) + Nsquare;
vecx = x0:xf;
Nx = length(vecx);
vecy = y0:yf;
Ny = length(vecy);
square = [vecx(2:end), repelem(xf,Ny-1), fliplr(vecx(2:end)), ...
          repelem(x0,Ny-1), repelem(yf,Nx-1), fliplr(vecy(2:end)), ...
          repelem(y0,Nx-1), vecy(2:end)];
x_direction = square(1,:);
y_direction = square(2,:);

for ta = 1 : total_time
    ...
    % Save pressure and velocity history
    for i = 1:length(x_direction)
        hist_rho(i,ta) = rho(y_direction(i),x_direction(i));
        hist_ux(i,ta) = ux(y_direction(i),x_direction(i));
        hist_uy(i,ta) = uy(y_direction(i),x_direction(i));
        hist_u(i,ta) = u(y_direction(i),x_direction(i));
        hist_p(i,ta) = p(y_direction(i),x_direction(i));
    end
    ...
end

```

2 IMPLEMENTAÇÃO DAS EQUAÇÕES FW-H

As equações seguem o desenvolvimento de Lockard (4) e seu passo-a-passo será omitido aqui. A equação de que permite calcular a flutuação de pressão p' na posição de ouvinte $\mathbf{y} = (x, y)$ para uma fonte na posição $\boldsymbol{\xi} = (\xi, \eta)$ e frequência ω é

$$\begin{aligned} H(f)p'(\mathbf{y}, \omega) = & - \int_{f=0} F_i(\boldsymbol{\xi}, \omega) \frac{\partial G(\mathbf{y}; \boldsymbol{\xi})}{\partial \xi_i} d\mathbf{l} \\ & - \int_{f=0} i\omega Q(\boldsymbol{\xi}, \omega) G(\mathbf{y}; \boldsymbol{\xi}) d\mathbf{l} \\ & - \int_{f>0} T_{ij}(\boldsymbol{\xi}, \omega) H(f) \frac{\partial^2 G(\mathbf{y}; \boldsymbol{\xi})}{\partial \xi_i \partial \xi_j} d\boldsymbol{\xi}. \end{aligned} \quad (2.1)$$

Os termos Q , F_i e T_{ij} referem-se às contribuições dos monopolos, dipolos e quadrupolos, respectivamente. A superfície de FW é definida de tal forma que $f = 0$ em seu limite, $f < 0$ em seu interior e $f > 0$ no campo distante. A função Heaviside é definida tal que $H(f < 0) = 0$ e $H(f > 0) = 1$. O termo $G(\mathbf{y}; \boldsymbol{\xi})$ representa a função de Green bidimensional, que logo será definida.

Percebe-se que os dois primeiros termos da integral são avaliados na superfície, enquanto o terceiro é avaliado no campo distante. As equações para Q e F_i são facilmente obtidas, porém o termo T_{ij} é de difícil solução. Em muitos casos, para superfícies suficientemente distantes da fonte sonora, as parcelas dominantes de energia acústica são provenientes de monopolos e dipolos, de tal forma que a parcela do quadrupolo é englobada por estas, sendo possível desprezar o terceiro termo da equação. Esta abordagem será utilizada para a geometria em análise.

Os termos Q e F_i podem ser calculados por

$$Q = (\rho u_i - \rho_0 U_i) \frac{\partial f}{\partial y_i}, \quad (2.2)$$

$$F_i = (p\delta_{ij} + \rho(u_i - 2U_i)u_j + \rho_0 U_i U_j) \frac{\partial f}{\partial y_j}, \quad (2.3)$$

onde ρ , u_i e p são os valores totais de densidade, velocidade e pressão do escoamento¹, δ_{ij} é o delta de Kronecker, ρ_0 é a densidade de corrente livre, U_i a velocidade com que se move a superfície, e $\partial f / \partial y_i$ a normal da superfície. Como a superfície a ser implementada é estática, $U_i = 0$. As normais de superfície são normalizadas por $|\nabla f|$ e assumem valores entre -1, 0 e 1 pelo fato dos lados estarem alinhados com os eixos cartesianos, como visto na Figura 2.

¹ Neste caso, em unidades de *lattice* para posterior análise dos resultados da simulação.

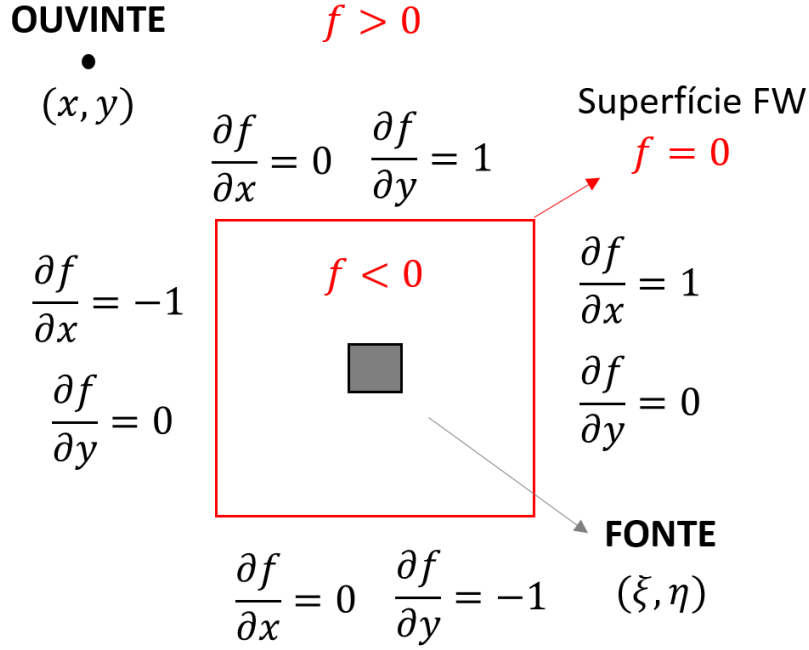


Figura 2: Representação da superfície de FW, onde $f = 0$. A região englobada pela superfície é definida como $f < 0$, e $f > 0$ para as demais regiões. A posição do ouvinte (x, y) e fonte (ξ, η) também são ilustradas, sendo esta última por conveniência posicionada no centro do eixo de coordenadas. As normais $\partial f / \partial y_i$ em cada lado superfície são também calculadas. Neste caso, a superfície possui velocidade $U_i = 0$.

O cálculo de Q e F_i envolve os valores de ρ , u_i e p , que por sua vez são variáveis temporais salvas ao longo da simulação. Após descartar o período transiente, Q e F_i são calculados para todos os pontos da superfície em todos os instantes de tempo. Expandindo para os índices $i = 1, 2$,

$$Q = \rho u_x \frac{\partial f}{\partial x} + \rho u_y \frac{\partial f}{\partial y}, \quad (2.4)$$

$$F_1 = (p + \rho u_x^2) \frac{\partial f}{\partial x} + \rho u_x u_y \frac{\partial f}{\partial y}, \quad (2.5)$$

$$F_2 = \rho u_x u_y \frac{\partial f}{\partial x} + (p + \rho u_y^2) \frac{\partial f}{\partial y}. \quad (2.6)$$

F_1 e F_2 não são imediatamente somados pois na Equação 2.1 cada F_i deve ser multiplicado pela correspondente derivada da função de Green $\partial G / \partial x_i$, para então serem somados.

Em seguida, uma transformada rápida de Fourier é aplicada em ambos em cada ponto da superfície, e toma-se o resultado na frequência de interesse ω , neste caso a frequência de pico para a velocidade de escoamento M . Após multiplicar este resultado pela função de Green, integra-se ao longo da superfície com auxílio da função `trapz` do MATLAB.

Resta agora definir a função de Green aplicável a este caso. Para casos de escoamento subsônico e geometria bidimensional, a função de Green é dada por

$$G(x, y; \xi, \eta) = \frac{i}{4\beta} \exp(iMk\bar{x}/\beta^2) H_0^{(2)} \left(\frac{k}{\beta^2} \sqrt{\bar{x}^2 + \beta^2 \bar{y}^2} \right), \quad (2.7)$$

onde $\bar{x} = (x - \xi) \cos \theta + (y - \eta) \sin \theta$ e $\bar{y} = -(x - \xi) \sin \theta + (y - \eta) \cos \theta$. O ângulo θ é definido como $\theta = \arctan(V/U)$, onde U e V são as velocidade de escoamento horizontal e vertical, respectivamente. Como o caso em questão possui apenas escoamento horizontal, portanto $\theta = 0$, e além disso $(\xi, \eta) = (0, 0)$, temos então $\bar{x} = x$ e $\bar{y} = y$. A velocidade de escoamento é dada por $M = U/c_0$, $k = \omega/c_0$ é o número de onda, $H_0^{(2)}$ é a função de Hankel de segundo tipo e ordem zero, $\beta = \sqrt{1 - M^2}$ e $i = \sqrt{-1}$. As derivadas $\partial G/\partial \xi$ e $\partial G/\partial \eta$ são calculadas com auxílio da função `diff` do MATLAB.

2.1 IMPLEMENTAÇÃO NUMÉRICA

O código abaixo define os pontos de cálculo de diretividade a uma distância de $r = 15$ m da fonte. Nota-se que esta distância é convertida para unidades de *lattice* através de

$$r_l = \frac{r}{\Delta x} \quad (2.8)$$

```
% Directivity analysis points
theta = (0:3:360)*pi/180;
radius = 15;
radius_lat = radius/Dx;
[probe_x,probe_y] = pol2cart(theta,radius_lat);
```

A função de Green é calculada de maneira simbólica no código a seguir.

```
% Green function
syms x y xi eta
x_bar = x - xi;
y_bar = y - eta;

beta = sqrt(1-M^2);
freq_lat = freq_peak*Dx/zeta;
k = 2*pi*freq_lat/cs;

z = k/beta^2*sqrt(x_bar^2 + beta^2*y_bar^2);
H = besselj(0,z) - 1i*bessely(0,z);
Green = 1i/(4*beta)*exp(1i*M*k*x_bar/beta^2)*H;
dGdxi = diff(Green, xi);
dGdeta = diff(Green, eta);
```

Os dados de densidade, velocidade e pressão foram salvos de tal forma que a i -ésima linha representa um ponto em $f = 0$, e a j -ésima coluna refere-se ao instante de tempo ta . Assim, para o cálculo de Q e F_i , optou-se por criar vetores de $\partial f/\partial x$ e $\partial f/\partial y$, de tal forma que possuam os corretos valores na i -ésima coluna (-1,0 ou 1).

```
%% SURFACE NORMALS
% Surface derivatives
dfdx = [repelem(0,Nx-1), repelem(1,Nx-1), repelem(0,Nx-1), ...
        repelem(-1,Nx-1)];
dfdx = repmat(dfdx',1,length(hist_p));
dfdy = [repelem(1,Ny-1), repelem(0,Ny-1), repelem(-1,Ny-1), ...
        repelem(0,Ny-1)];
dfdy = repmat(dfdy',1,length(hist_p));
```

Pode-se então calcular os valores Q e F_i para cada instante de tempo em cada ponto da superfície, aplicar a FFT e multiplicar pela função de Green.

```
%% MONOPOLE
% Monopole source for each cell at each time step
Q_point = hist_rho.*hist_ux.*dfdx + hist_rho.*hist_uy.*dfdy;

% FFT on monopole source time history
fft_Q = zeros(size(Q_point));
for i = 1:length(x_direction)
    fft_Q(i,:) = fft(Q_point(i,:))/L; % row = angle, column = frequency
end
fft_Q(:,1) = []; % removes first line
Q = fft_Q(:,I_peak);

monopole = zeros(1,length(probe_x));
for j = 1:length(probe_x)
    G = subs(Green, [x,y,xi,eta], [probe_x(j),probe_y(j),0,0]);
    monopole(j) = trapz(1i*2*pi*freq_lat*Q*G);
end

%% DIPOLE
% Dipole source for each cell at each time step
F1_point = (hist_p + hist_rho.*hist_ux.^2).*dfdx + ...
            hist_rho.*hist_ux.*hist_uy.*dfdy;
F2_point = hist_rho.*hist_ux.*hist_uy.*dfdx + (hist_p + ...
            hist_rho.*hist_uy.^2).*dfdy;

% FFT on dipole source time history
```



```

fft_F1 = zeros(size(F1_point));
fft_F2 = zeros(size(F2_point));
for i = 1:length(x_direction)
fft_F1(i,:) = fft(F1_point(i,:))/L; % row = angle, column = frequency
fft_F2(i,:) = fft(F2_point(i,:))/L; % row = angle, column = frequency
end
fft_F1(:,1) = []; % removes first line
fft_F2(:,1) = []; % removes first line

F1 = fft_F1(:,I_peak);
F2 = fft_F2(:,I_peak);

dipole = zeros(1,length(probe_x));
for j = 1:length(probe_x)
G1 = subs(dGdxi, [x,y,xi,eta], [probe_x(j),probe_y(j),0,0]);
G2 = subs(dGdeta, [x,y,xi,eta], [probe_x(j),probe_y(j),0,0]);
dipole(j) = trapz(F1*G1 + F2*G2);
end

```

A pressão é dada então pela soma das parcelas negativas de cada uma destas fontes.

```

pressure = - monopole - dipole;

```

3 RESULTADOS

As Figuras 3, 4 e 5 mostram a influência da distância do anteparo N nos resultados de diretividade, enquanto a Figura 6 avalia a influência da velocidade de escoamento para uma mesma superfície $N = 100$.

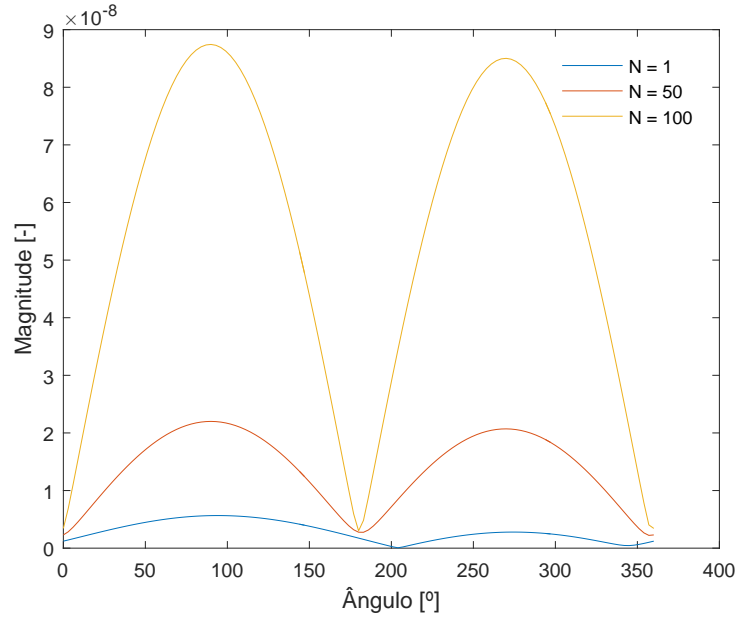


Figura 3: Diretividade para $M = 0,03$ para diferentes tamanhos de superfície.

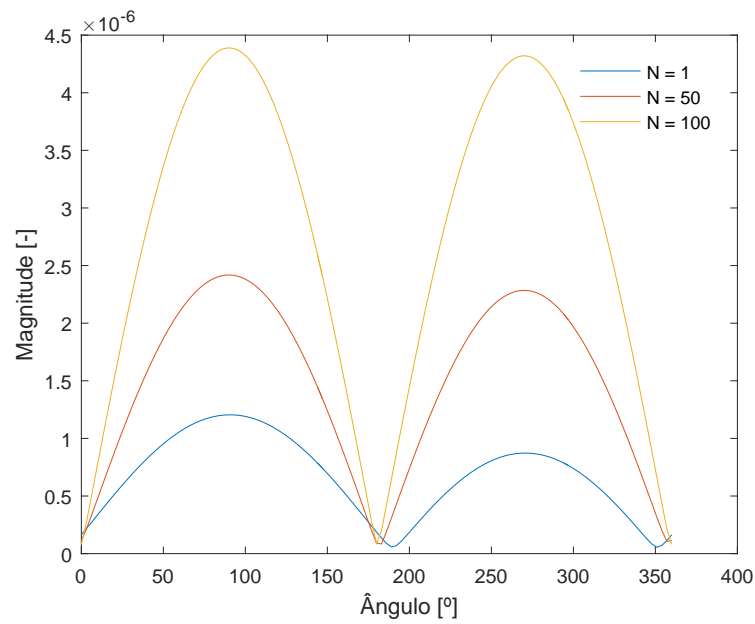


Figura 4: Diretividade para $M = 0,07$ para diferentes tamanhos de superfície.

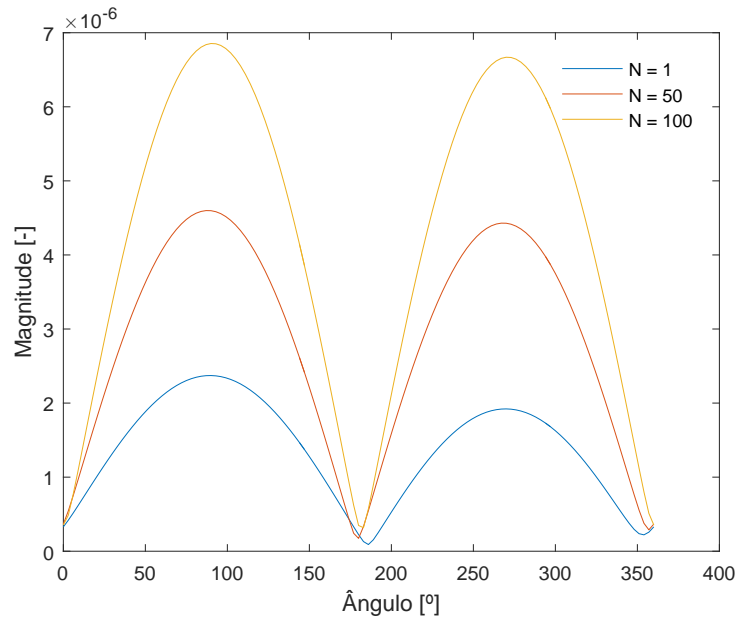


Figura 5: Diretividade para $M = 0, 10$ para diferentes tamanhos de superfície.

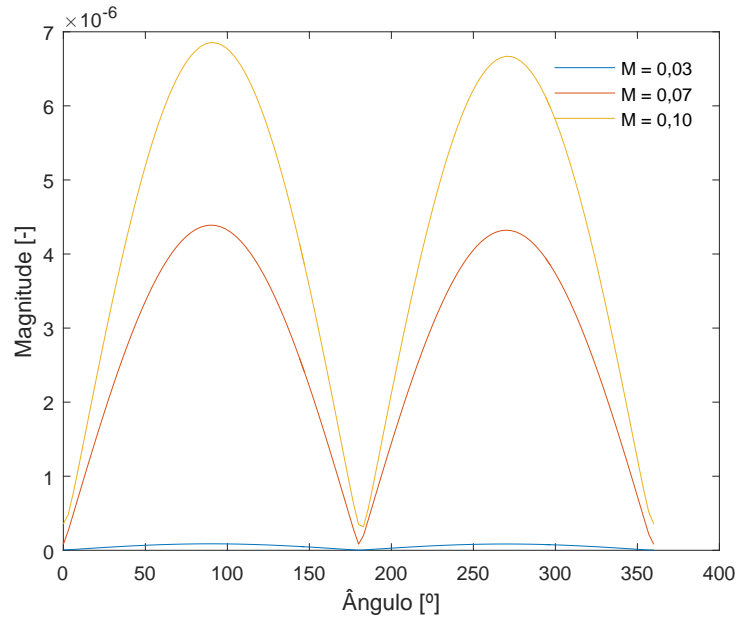


Figura 6: Diretividade para $N = 100$ para diferentes velocidades de escoamento.

Os resultados mostram que a pressão sonora aumenta com o aumento da superfície e claramente possuem forma de dipolo. De fato, a geração de som se dá por desprendimento de vórtices que se formam ao redor do corpo. Quanto maior a área, maiores as chances de englobar os termos de geração de monopolo, dipolo e quadrupolo. Os ângulos de máxima e mínima diretividade são alterados com o aumento da superfície, mostrando que o escoamento fora da superfície $N = 1$ possui ainda grande influência no campo distante. Analisando o aumento da velocidade no resultado de diretividade, os ângulos são

os mesmos, porém a amplitude da pressão aumenta consideravelmente. Com uma maior velocidade de escoamento, a força exercida no anteparo é maior, e assim a intensidade acústica é também maior. Como a fonte possui característica predominantemente de dipolo, este formato de curva se mantém. Caso a velocidade fosse ainda maior, a ponto de gerar uma esteira de turbulência, provavelmente o efeito dos quadrupolos tornariam-se significativos, alterando as características da curva.

REFERÊNCIAS

- 1 BOUZIDI, M.; FIRDAOUSS, M.; LALLEMAND, P. Momentum transfer of a Boltzmann-lattice fluid with boundaries. *Physics of Fluids*, v. 13, n. 11, p. 3452–3459, 2001.
- 2 KAM, E. W. S.; SO, R. M. C.; LEUNG, R. C. K. Non-reflecting boundary for one-step lbm simulation of aeroacoustics. *Proceedings of the 27th AIAA Aeroacoustics Conference*, p. 1–9, 2006.
- 3 WILLIAMS, J. E. F.; HAWKINGS, D. L. Sound generation by turbulence and surface in arbitrary motion. *Philosophical Transactions of the Royal Society of London*, v. 342, p. 264–321, 1969.
- 4 LOCKARD, D. P. An efficient, two-dimensional implementation of the Ffowcs Williams and Hawkins equation. *Journal of Sound and Vibration*, v. 229, n. 4, p. 897–911, 2000.